

# Systèmes sur puce communicants

## SOCOM201

G. Rodriguez-Guisantes  
Dépt. COMELEC

[http://perso.telecom-paristech.fr/~rodriguez/ens/cycle\\_master/](http://perso.telecom-paristech.fr/~rodriguez/ens/cycle_master/)



Octobre 2016



## Plan de la présentation

- **Caractéristiques du canal radio(rappels) ;**
- Analyse et conception du Tx-Rx ;
- Modulation M-QAM - analyse théorique ;
- M-QAM et les distorsions ;

## Plan de la présentation

- Caractéristiques du canal radio(rappels) ;
- Analyse et conception du Tx-Rx ;
- Modulation M-QAM - analyse théorique ;
- M-QAM et les distorsions ;

## Plan de la présentation

- Caractéristiques du canal radio(rappels) ;
- Analyse et conception du Tx-Rx ;
- Modulation M-QAM - analyse théorique ;
- M-QAM et les distorsions ;



## Plan de la présentation

- Caractéristiques du canal radio(rappels) ;
- Analyse et conception du Tx-Rx ;
- Modulation M-QAM - analyse théorique ;
- M-QAM et les distorsions ;

# Caractéristiques du canal radio

## Effets microscopiques du canal

### Signal transmi :

$$s(t) = \text{Re}\{u(t) \cdot e^{j2\pi f_c t}\} = I(t) \cos(2\pi f_c t) - Q(t) \sin(2\pi f_c t)$$

$f_c$  porteuse -  $u(t)$  BB avec  $B_s$  Hz.

### Signal reçu :

$$r(t) = \text{Re} \left\{ \sum_{n=0}^{N(t)} \alpha_n u(t - \tau_n(t)) \cdot e^{j\{2\pi f_c(t - \tau_n(t)) + \phi_n^D\}} \right\}$$

$$\phi_n(t) = 2\pi f_c \tau_n(t) - \phi_n^D,$$

$$r(t) = \text{Re} \left\{ e^{j2\pi f_c t} \cdot \sum_{n=0}^{N(t)} \alpha_n u(t - \tau_n(t)) \cdot e^{-j\phi_n(t)} \right\}$$

# Caractéristiques du canal radio

## Effets microscopiques du canal

### Signal transmi :

$$s(t) = \text{Re}\{u(t).e^{j2\pi f_c t}\} = I(t) \cos(2\pi f_c t) - Q(t) \sin(2\pi f_c t)$$

$f_c$  porteuse -  $u(t)$  BB avec  $B_s$  Hz.

### Signal reçu :

$$r(t) = \text{Re} \left\{ \sum_{n=0}^{N(t)} \alpha_n u(t - \tau_n(t)).e^{j\{2\pi f_c(t - \tau_n(t)) + \phi_n^D\}} \right\}$$

$$\phi_n(t) = 2\pi f_c \tau_n(t) - \phi_n^D,$$

$$r(t) = \text{Re} \left\{ e^{j2\pi f_c t} \cdot \sum_{n=0}^{N(t)} \alpha_n u(t - \tau_n(t)).e^{-j\phi_n(t)} \right\}$$

## Composantes du *fading*

$n$  correspond à un chemin de longueur

$$L_n \rightarrow \tau_n = L_n/c$$

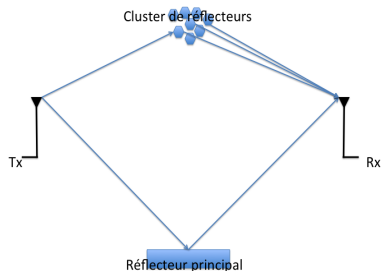
$\alpha_n(t)$  = atténuation.

$$\phi_n^D = \int 2\pi f_n^D(t) dt = \text{Doppler } f_c,$$

$$f_n^D(t) = \frac{v \cos \theta_n(t)}{\lambda},$$

$\theta_n(t)$  angle relatif à la direction du mouvement.

Les chemins sont *résolubles* si  $|\tau_j - \tau_i| \gg B_s^{-1}$



## Impact du *fading*

Si la dispersion des retards est petite comparée à  $B_s^{-1} \sim T_s$   
 $\Rightarrow$  *narrowband fading* ;

Si la dispersion des retards est grande comparée à  $B_s^{-1} \sim T_s$   
 $\Rightarrow$  *wideband fading* ;

### *Delay spread*

La dispersion des chemins autour de la moyenne s'appelle *Delay spread* du canal  $\rightarrow T_m$ .

## Impact du *fading*

Si la dispersion des retards est petite comparée à  $B_s^{-1} \sim T_s$   
 $\Rightarrow$  *narrowband fading* ;

Si la dispersion des retards est grande comparée à  $B_s^{-1} \sim T_s$   
 $\Rightarrow$  *wideband fading* ;

### *Delay spread*

La dispersion des chemins autour de la moyenne s'appelle *Delay spread* du canal  $\rightarrow T_m$ .

## Impact du *fading*

Si la dispersion des retards est petite comparée à  $B_s^{-1} \sim T_s$   
 $\Rightarrow$  *narrowband fading* ;

Si la dispersion des retards est grande comparée à  $B_s^{-1} \sim T_s$   
 $\Rightarrow$  *wideband fading* ;

### *Delay spread*

La dispersion des chemins autour de la moyenne s'appelle *Delay spread* du canal  $\rightarrow T_m$ .

## Modèle *narrowband*

Dans ce cas  $T_m \ll T_s$ .

Si  $\tau_i$  représente le  $i$ -ème retard, alors  $\tau_i \leq T_m$  :

$$u(t - \tau_i) \simeq u(t).$$

$$r(t) = \text{Re} \left\{ u(t) e^{j2\pi f_c t} \underbrace{\left( \sum_n \alpha_n(t) e^{-j\phi_n(t)} \right)}_{A(t)} \right\}.$$

## Modèle *narrowband*

Dans ce cas  $T_m \ll T_s$ .

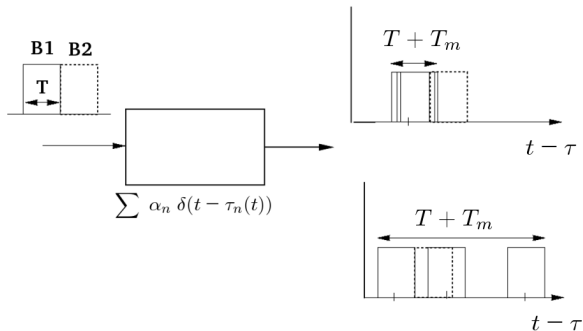
Si  $\tau_i$  représente le  $i$ -ème retard, alors  $\tau_i \leq T_m$  :

$$u(t - \tau_i) \simeq u(t).$$

$$r(t) = \text{Re} \left\{ u(t) e^{j2\pi f_c t} \underbrace{\left( \sum_n \alpha_n(t) e^{-j\phi_n(t)} \right)}_{A(t)} \right\}.$$

## Modèle wideband

Dans ce cas  $T_m \gg T_s$ .



**Conclusion** : si  $T_m \gg T_s \rightarrow$  IES

## L'effet Doppler

Cet effet traduit la variabilité du canal dans le temps :

La dispersion moyenne de la fréquence autour de la porteuse s'appelle *Doppler spread*  $B_D$  du canal

On appelle *Temps de Cohérence* du canal, la durée d'un cycle complet de la dynamique induite par le Doppler.

$$T_c \approx 1/B_D$$

## L'effet Doppler

Cet effet traduit la variabilité du canal dans le temps :

La dispersion moyenne de la fréquence autour de la porteuse s'appelle *Doppler spread*  $B_D$  du canal

On appelle **Temps de Cohérence** du canal, la durée d'un cycle complet de la dynamique induite par le Doppler.

$$T_c \approx 1/B_D$$

## Resumé

### *Delay Spread - $T_m$*

La dispersion des retards donne une bonne idée des caractéristiques dispersives du canal dans le temps.

### *Doppler Spread - $B_D$*

La dispersion Doppler donne une bonne idée de la variabilité du canal dans le temps.

### Paramètres

Dispersion moyenne  $\leftrightarrow$  Bande de cohérence

$$T_m \leftrightarrow B_c$$

Temps de Cohérence  $\leftrightarrow$  Dispersion Doppler

$$T_c \leftrightarrow B_D$$

## Resumé

### *Delay Spread - $T_m$*

La dispersion des retards donne une bonne idée des caractéristiques dispersives du canal dans le temps.

### *Doppler Spread - $B_D$*

La dispersion Doppler donne une bonne idée de la variabilité du canal dans le temps.

### Paramètres

Dispersion moyenne  $\leftrightarrow$  Bande de cohérence

$$T_m \leftrightarrow B_c$$

Temps de Cohérence  $\leftrightarrow$  Dispersion Doppler

$$T_c \leftrightarrow B_D$$

## Resumé

### *Delay Spread - $T_m$*

La dispersion des retards donne une bonne idée des caractéristiques dispersives du canal dans le temps.

### *Doppler Spread - $B_D$*

La dispersion Doppler donne une bonne idée de la variabilité du canal dans le temps.

### Paramètres

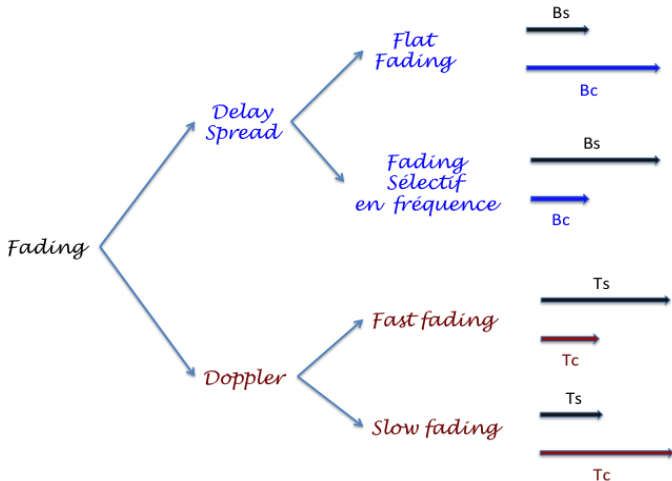
Dispersion moyenne  $\leftrightarrow$  Bande de cohérence

$$T_m \leftrightarrow B_c$$

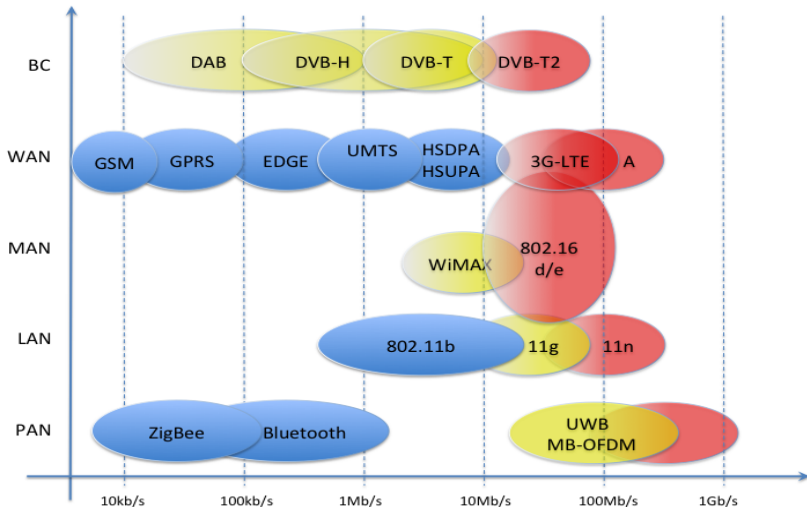
Temps de Cohérence  $\leftrightarrow$  Dispersion Doppler

$$T_c \leftrightarrow B_D$$

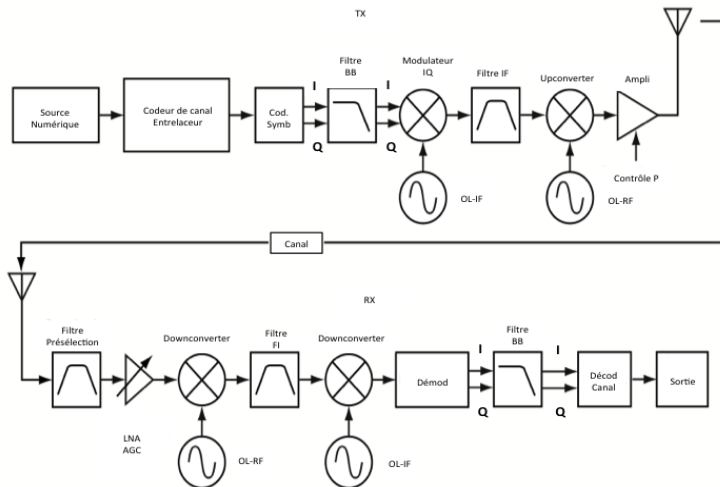
# Résumé des modèles de canaux RF



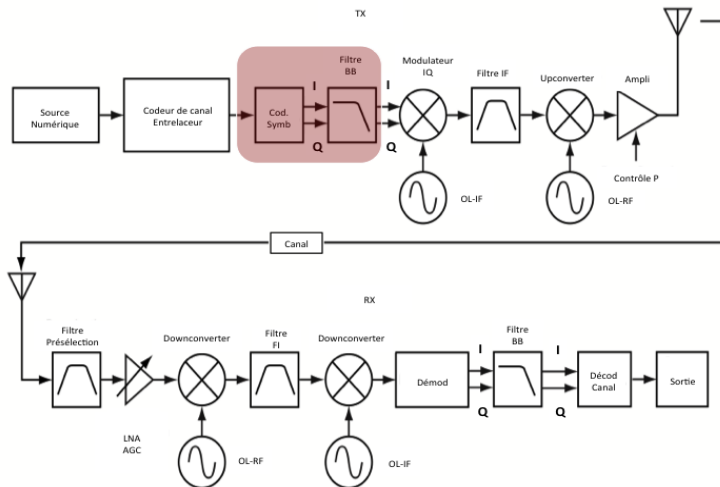
# Etat de l'art



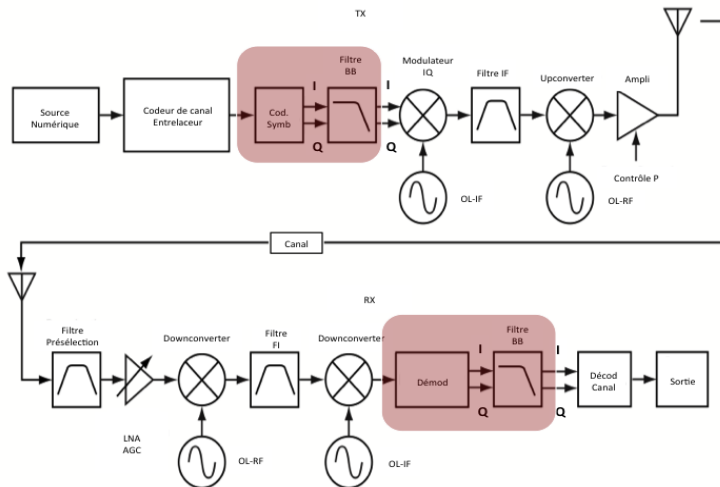
## Schéma de Tx-Rx



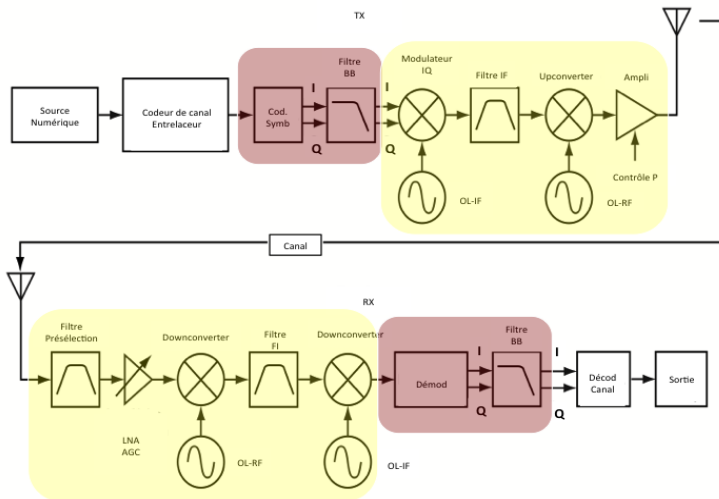
## Schéma de Tx-Rx



## Schéma de Tx-Rx



## Schéma de Tx-Rx



## Modulation en bande de base

Signal transmi :

$$s(t) = \text{Re}\{u(t).e^{j2\pi f_c t}\} = I(t) \cos(2\pi f_c t) + j.Q(t) \sin(2\pi f_c t)$$

$f_c$  porteuse -  $u(t)$  signal en bande de base.

$$u(t) = I(t) + j.Q(t)$$

Représentation complexe du signal porteur d'information

$I(t)$  – composante en phase

$Q(t)$  – composante en quadrature

## Modulation en bande de base

**Modulation numérique** : construire  $u(t)$  en fonction des changements d'états d'une source d'information.

Approche intuitive :

$\{\alpha_n\}$  séquence d'états de la source  $\rightarrow u(t)$  superposition d'impulsions élémentaires !

Exemple :

$\mathcal{S}$  source binaire maxentropique,  $\{\alpha_n\} = \dots 0 1 1 0 0 1 \dots$

$$\{a_n\} = \dots -A \quad +A \quad +A \quad -A \quad -A \quad +A \quad \dots$$

$$u(t) = \sum_n a_n \cdot h(t - nT)$$

## Modulation en bande de base

**Modulation numérique** : construire  $u(t)$  en fonction des changements d'états d'une source d'information.

**Approche intuitive** :

$\{\alpha_n\}$  séquence d'états de la source  $\rightarrow u(t)$  superposition d'impulsions élémentaires !

**Exemple** :

$S$  source binaire maxentropique,  $\{\alpha_n\} = \dots 0 1 1 0 0 1 \dots$

$$\{a_n\} = \dots -A \quad +A \quad +A \quad -A \quad -A \quad +A \quad \dots$$

$$u(t) = \sum_n a_n \cdot h(t - nT)$$

## Modulation en bande de base

**Modulation numérique** : construire  $u(t)$  en fonction des changements d'états d'une source d'information.

**Approche intuitive** :

$\{\alpha_n\}$  séquence d'états de la source  $\rightarrow u(t)$  superposition d'impulsions élémentaires !

**Exemple** :

$\mathcal{S}$  source binaire maxentropique,  $\{\alpha_n\} = \dots 0 1 1 0 0 1 \dots$

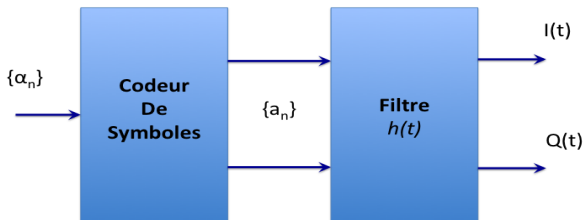
$$\{a_n\} = \dots -A \quad +A \quad +A \quad -A \quad -A \quad +A \quad \dots$$

$$u(t) = \sum_n a_n \cdot h(t - nT)$$

## Modulation en bande de base

$u(t)$  est construit en deux phases :

- bits  $\rightarrow$  amplitudes ;
- amplitudes  $\rightarrow$  forme d'onde (grâce à  $h(t)$ ).



Dans l'exemple pré-cité :  $I(t) = \sum_n a_n \cdot h(t - nT)$ ,  $Q(t) = 0$ .

## Modulation en bande de base

Le choix de  $\{a_n\}$  est conditionné par :

- la simplicité de l'architecture du modulateur ;
- l'efficacité spectrale ( $\eta = D/BW$ ) ;
- la simplicité de l'architecture du Rx ;
- la simplicité de synchronisation ;
- la performance en  $P_b$  ;
- la robustesse aux imperfections de l'architecture RF.

## Modulation en bande de base

Le choix de  $\{h(t)\}$  est conditionné par :

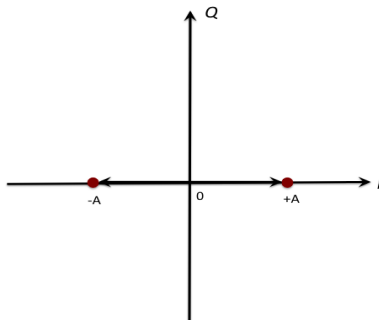
- la simplicité de la mise en forme du filtre (analogique ou numérique) ;
- l'efficacité spectrale ( $\eta = D/BW$ ) ;
- l'interférence entre symboles (Nyquist) ;
- la performance de l'amplificateur de puissance ;
- le rapport pic-moyenne du signal modulé.

## Description vectorielle des $\{a_n\}$

Les amplitudes  $\{a_n\}$  représentent des nombres réels ou complexes

Dans le cas précédent :  $0 \rightarrow -A$     $1 \rightarrow +A$

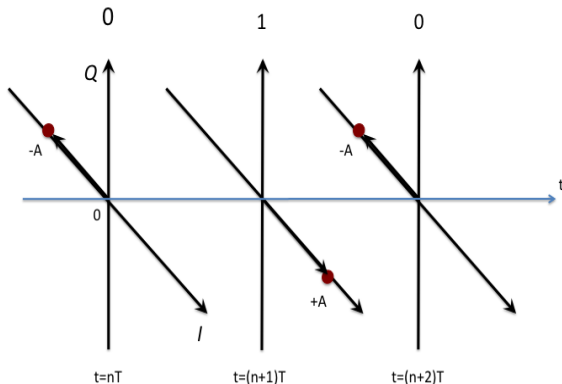
Dans le plan complexe  $I - Q$  cette modulation peut être représentée par :



## Description vectorielle des $\{a_n\}$

Chaque « vecteur » véhicule 1 bit d'information

Un seule dimension complexe est requise pour « transporter » ce bit



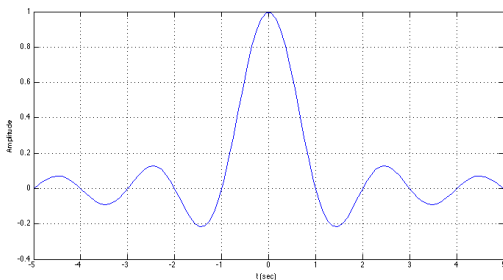
## Description vectorielle de $u(t)$

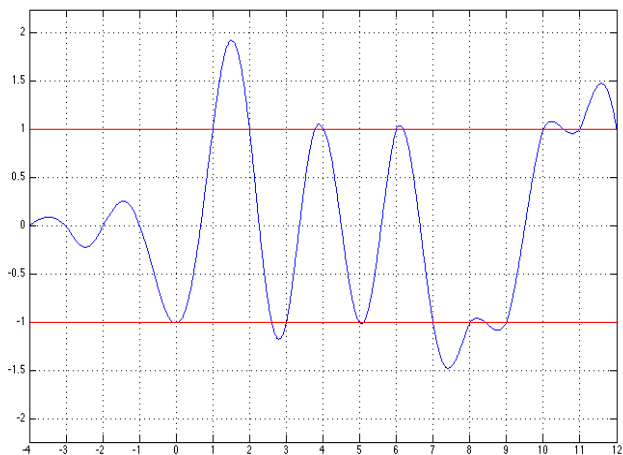
Le filtre  $h(t)$  assure le « lien » temporel entre les « vecteurs » discrets.

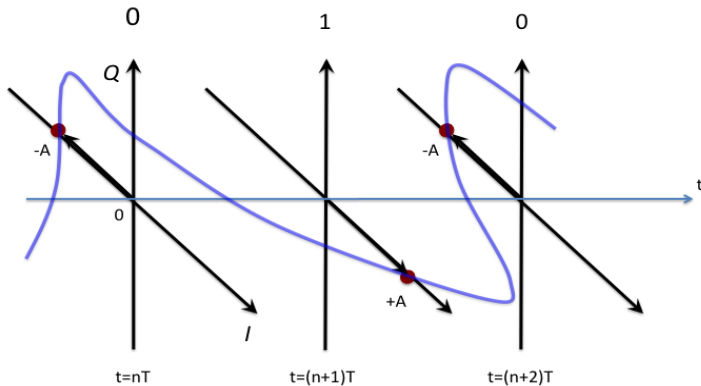
Deux façons de construire  $h(t)$  :

- $h(t)$  à support temporel fini  $\rightarrow h(t) \neq 0 \quad t \in [0, T]$  ;
- $h(t)$  Nyquist.

$$h(nT) = \begin{cases} 1 & \text{pour } n = 0 ; \\ 0 & \forall n \neq 0. \end{cases}$$



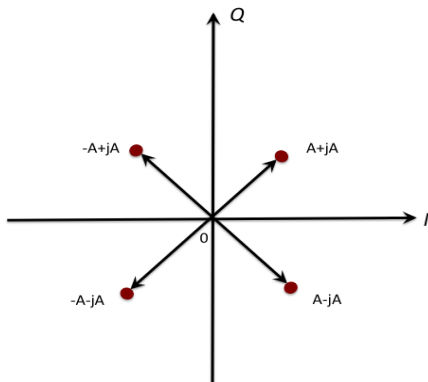
Description vectorielle de  $u(t)$ 

Description vectorielle de  $u(t)$ 

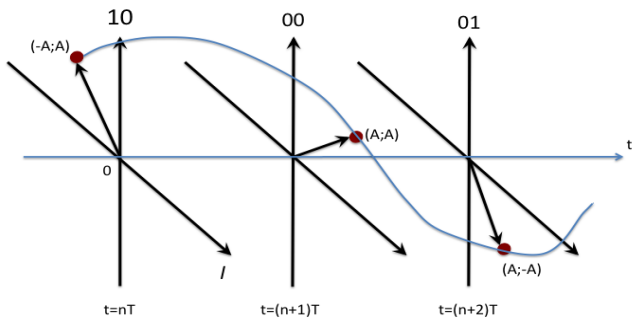
$$u(t) \in \mathcal{C}$$

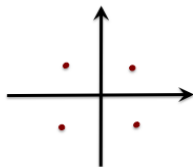
$$u(t) = \sum_n a_n \cdot h(t - nT)$$

$$a_n = \{A + jA; -A + jA; -A - jA; A - jA\}$$

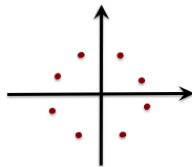


$$u(t) \in \mathcal{C}$$

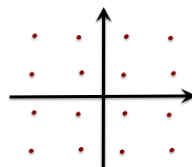


Généralisation à l'ordre  $M$ 

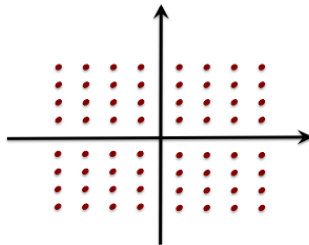
4-PSK



8-PSK



16-QAM



64-QAM

## Avantages de l'ordre $M$

Chaque symbole complexe transporte :

$$N = \log_2 M \text{ bits}$$

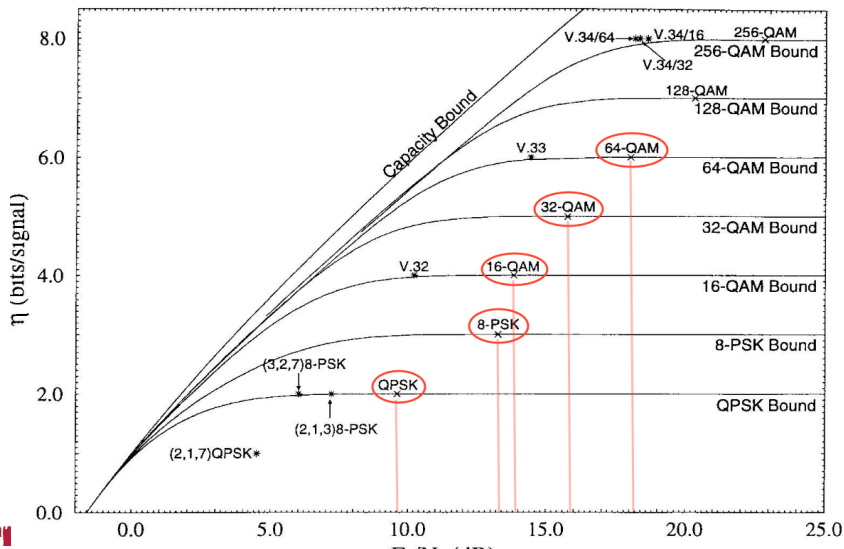
$$T_s = N.T_b$$

$$R = \frac{D}{N}$$

des économies significatives de  $B_w$  !

Malheureusement, **augmentation significative de  $E_b/N_0$**   
pour atteindre les mêmes performances !

## Efficacité spectrale



# Modulation M-QAM - analyse théorique

Signal émis

$$s(t) = \sum_n a_n h_t(t - nT)$$

Signal reçu

$$r(t) = \sum_n a_n h_{Rx}(t - nT) + b(t)$$

où

$$h_{Rx}(t) = h_t(t) * h_c(t) * h_r(t)$$

Signal reçu échantillonné

$$r(kT + \tau) = \sum_n a_n h_{Rx}(kT + \tau - nT) + b(kT + \tau)$$

## Modulation M-QAM - analyse théorique (2)

$$r(k) = \sum_n a_n h_{Rx}(k - n) + b(k)$$

$$r(k) = \underbrace{h_{Rx}(0) \cdot a_k}_{\text{symbole } k} + \underbrace{\sum_{n \neq k} a_n h_{Rx}(k - n)}_{\text{IES}} + \underbrace{b(k)}_{\text{bruit}}$$

$$\sum_k H_{Rx}(f + \frac{k}{T}) = T \cdot h_{Rx}(0)$$

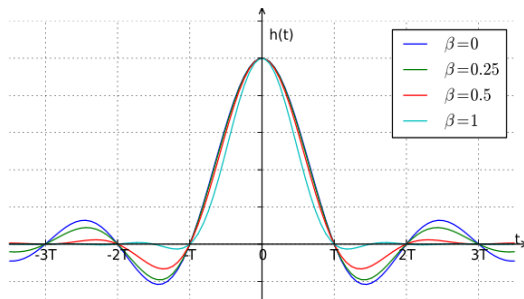
$$H_{Rx}(f) = \begin{cases} T & |f| \leq \frac{1}{2T} \\ 0 & |f| > \frac{1}{2T} \end{cases}$$

## Modulation M-QAM - analyse théorique (3)

$$H_{Rx}(f) = \begin{cases} T & 0 \leq |f| \leq \frac{1-\alpha}{2T} \\ \frac{T}{2} \left( 1 - \sin\left[\frac{\pi T}{\alpha} \left(f - \frac{1}{2T}\right)\right] \right) & \frac{1-\alpha}{2T} < |f| < \frac{1+\alpha}{2T} \end{cases}$$

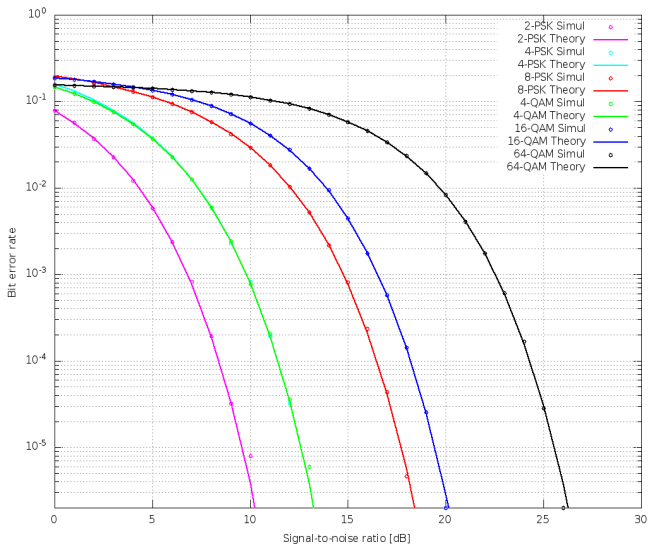
Filtre en cosinus surélevé

$$h_{Rx}(t) = \frac{\cos(\alpha\pi t/T)}{1 - 4\alpha^2 t^2/T^2} \operatorname{sinc}(t/T).$$

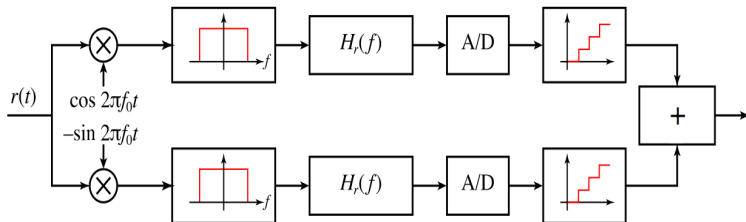
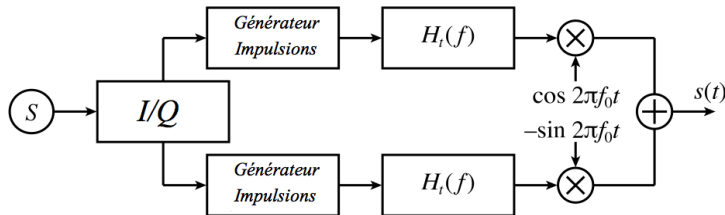




# Modulation M-QAM - Performance en BABG



## Modulation M-QAM - Structure de Tx/Rx





# Les distorsions

Les sources de distorsion :

- distorsions linéaires dues au canal ;
- les distorsions du Tx ;
- les distorsions du Rx.

## Distorsions du canal sur la M-QAM

Possibles sources de distorsion :

- limitation en bande du canal ;
- sélectivité en fréquence due au *fading* ;

Si  $B_c \lll \frac{1}{T}$  alors IES !

Comment se traduit l'IES sur le signal transmis ?

Aux instants idéaux d'échantillonnage, le signal n'est pas au RV !

## Distorsions du canal sur la M-QAM

Possibles sources de distorsion :

- limitation en bande du canal ;
- sélectivité en fréquence due au *fading* ;

Si  $B_c \lll \frac{1}{T}$  alors IES !

Comment se traduit l'IES sur le signal transmis ?

Aux instants idéaux d'échantillonnage, le signal n'est pas au RV !

## Distorsions du canal sur la M-QAM

Possibles sources de distorsion :

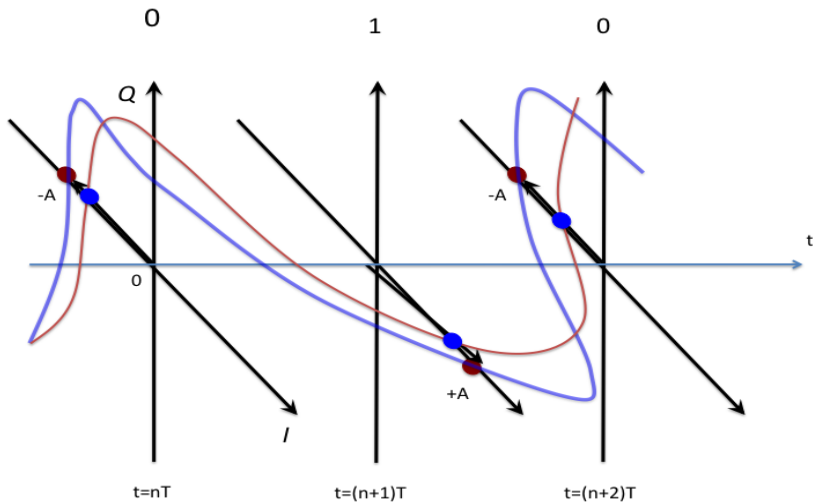
- limitation en bande du canal ;
- sélectivité en fréquence due au *fading* ;

Si  $B_c \lll \frac{1}{T}$  alors IES !

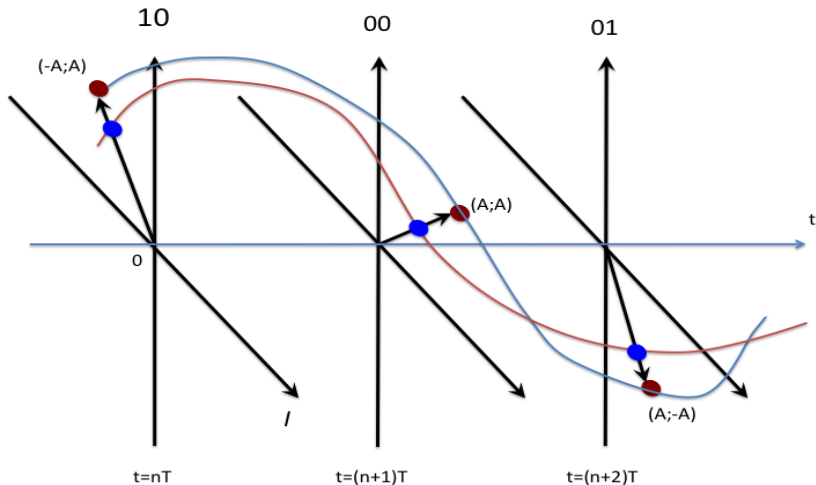
Comment se traduit l'IES sur le signal transmis ?

Aux instants idéaux d'échantillonnage, le signal **n'est pas au RV !**

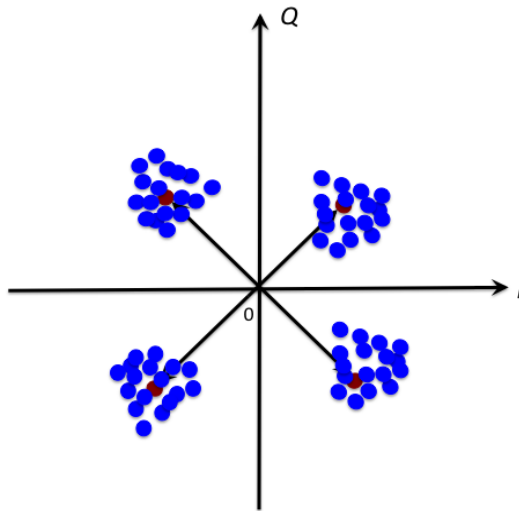
## Un exemple - BPSK



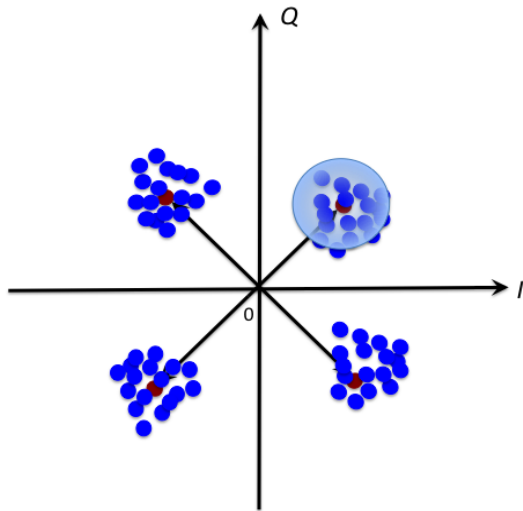
## Un exemple - QPSK



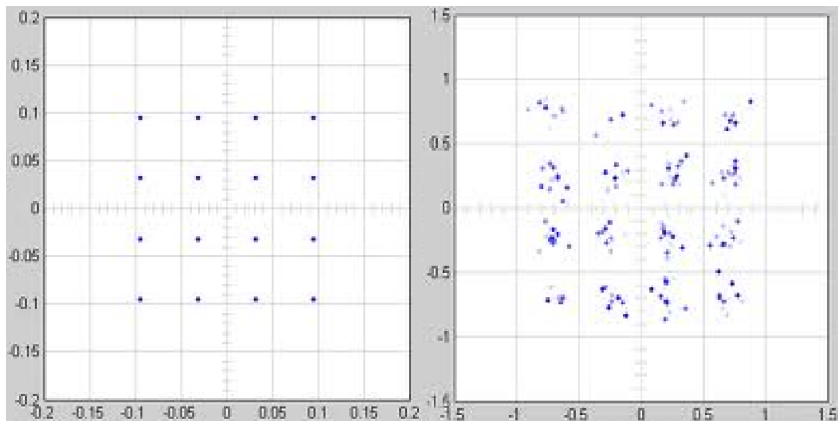
# Impact de l'IES - Diagrammes de dispersion

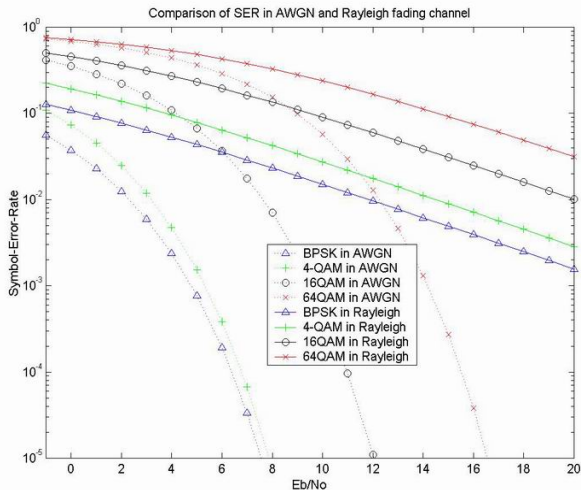


# Impact de l'IES - Diagrammes de dispersion



## Diagrammes de dispersion - 16-QAM



$P_{\text{symb}}$  - M-QAM en canal de Rayleigh

## L'égalisation

L'idée de l'égalisation consiste à supprimer la distorsion induite par le canal

Deux façons de traiter le problème :

- filtrage dans le domaine de la fréquence ;
- convolution dans le temps avec la bonne réponse impulsionnelle.

Trois techniques sont fréquemment utilisées dans la pratique :

- égalisation linéaire ;
- égalisation par retour des décisions ;
- égalisation par estimation de séquence.

## L'égalisation

L'idée de l'égalisation consiste à supprimer la distorsion induite par le canal

Deux façons de traiter le problème :

- filtrage dans le domaine de la fréquence ;
- convolution dans le temps avec la bonne réponse impulsionnelle.

Trois techniques sont fréquemment utilisées dans la pratique :

- égalisation linéaire ;
- égalisation par retour des décisions ;
- égalisation par estimation de séquence.

## L'égalisation

L'idée de l'égalisation consiste à supprimer la distorsion induite par le canal

Deux façons de traiter le problème :

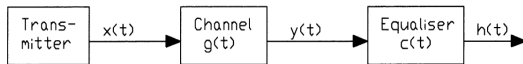
- filtrage dans le domaine de la fréquence ;
- convolution dans le temps avec la bonne réponse impulsionnelle.

Trois techniques sont fréquemment utilisées dans la pratique :

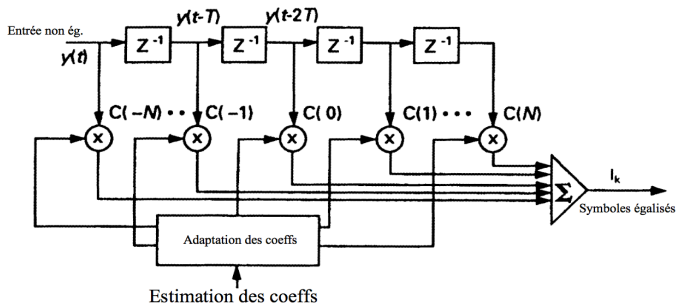
- égalisation linéaire ;
- égalisation par retour des décisions ;
- égalisation par estimation de séquence.

# Égalisation linéaire

## Modèle d'égaliseur linéaire

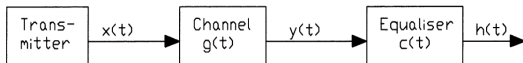


Il s'agit d'un filtre linéaire de RI :  $c(kT) = \sum_{k=-N}^{+N} c(k).z^{-kT}$



## Le zero forcing et le EQM

### Modèle d'égaliseur linéaire



Les coeffs du filtre linéaire peuvent être calculés selon deux critères :

- on annule l'effet de l'IES sur la plage d'échantillons  $(-N; +N) \rightarrow$  *Zero Forcing* ;
- on minimise l'**erreur quadratique moyenne de la distorsion**  $\rightarrow$  *EQM*.

## Le zero forcing et le EQM

Si  $h(n) = y(n) * c(n)$ , alors on appelle **Distorsion quadratique moyenne** ;

$$DQM = \frac{1}{h^2(0)} \sum_{k=-\infty; k \neq 0}^{+\infty} h^2(n)$$

Pour minimiser l'IES il suffit de minimiser l'**erreur quadratique moyenne**

$$EQM = \epsilon = \left( \sum_{k=-\infty; k \neq 0}^{+\infty} h^2(n) \right) - h^2(0)$$

Fonction quadratique des coeffs → problème « classique » d'estimation spectrale qui peut être résolu par des algorithmes du type Levinson-Durbin.

## Le zero forcing et le EQM

Si  $h(n) = y(n) * c(n)$ , alors on appelle **Distorsion quadratique moyenne** ;

$$DQM = \frac{1}{h^2(0)} \sum_{k=-\infty; k \neq 0}^{+\infty} h^2(n)$$

Pour minimiser l'IES il suffit de minimiser l'**erreur quadratique moyenne**

$$EQM = \epsilon = \left( \sum_{k=-\infty; k \neq 0}^{+\infty} h^2(n) \right) - h^2(0)$$

Fonction quadratique des coeffs → problème « classique » d'estimation spectrale qui peut être résolu par des algorithmes du type Levinson-Durbin.

## Le zero forcing et le EQM

Si  $h(n) = y(n) * c(n)$ , alors on appelle **Distorsion quadratique moyenne** ;

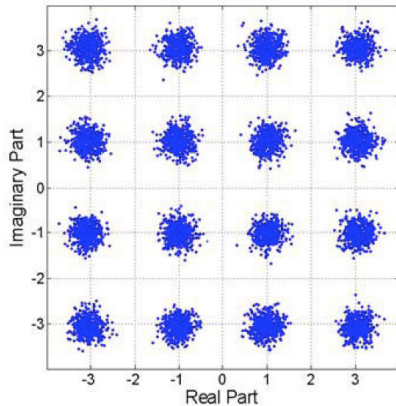
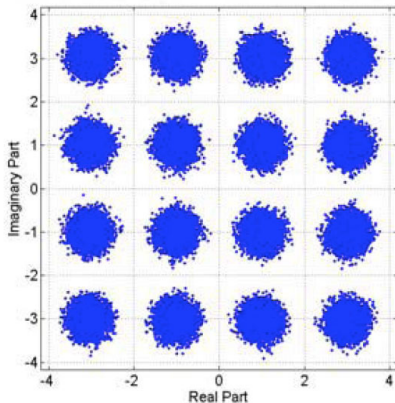
$$DQM = \frac{1}{h^2(0)} \sum_{k=-\infty; k \neq 0}^{+\infty} h^2(n)$$

Pour minimiser l'IES il suffit de minimiser l'**erreur quadratique moyenne**

$$EQM = \epsilon = \left( \sum_{k=-\infty; k \neq 0}^{+\infty} h^2(n) \right) - h^2(0)$$

Fonction quadratique des coeffs → problème « classique » d'estimation spectrale qui peut être résolu par des algorithmes du type Levinson-Durbin.

## Exemple éga EQM sur 16-QAM, Canal à 3 coeffs

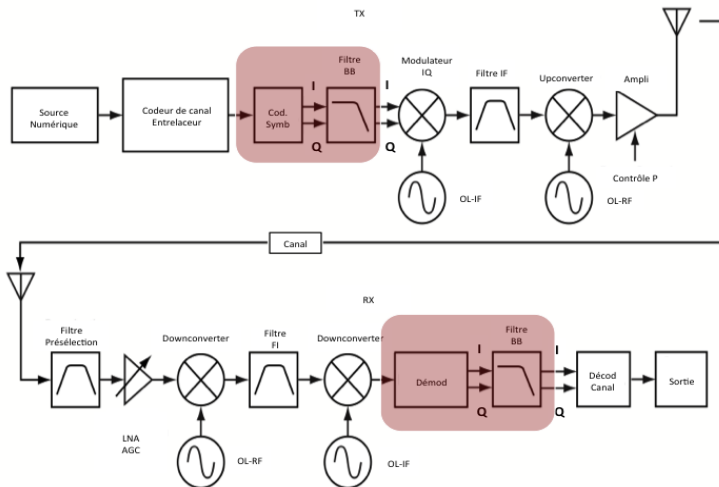


## L'impact des imperfections RF

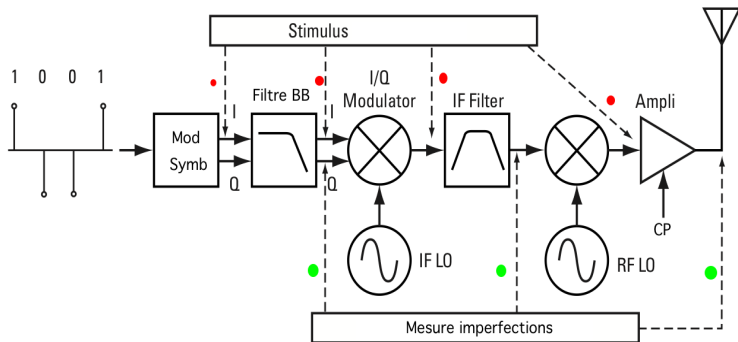
Nous allons considérer les sources d'imperfection suivantes :

- le offset de DC ;
- le déséquilibre entre I et Q ;
- le bruit de phase ;
- le rapport de pic (*peak-to-average power ratio* - P2A) ;
- la non-linéarité des amplificateurs RF.

## Schéma Tx-Rx



## Mesure des imperfections



## Indices de qualité

Plusieurs « marqueurs » peuvent être utilisés pour mesurer la qualité de la modulation :

- l'erreur vectorielle (*Error Vector Magnitude*) ;
- erreur de fréquence et de phase ;
- $\rho$  du CDMA et puissance du code.

Déf : l'**erreur vectorielle**, est le vecteur différence entre la valeur du signal complexe à un instant d'échantillonnage, et la valeur théorique que le signal complexe devrait avoir à cet instant.

Il s'agit d'une quantité **complexe** (vectorielle) !

## Indices de qualité

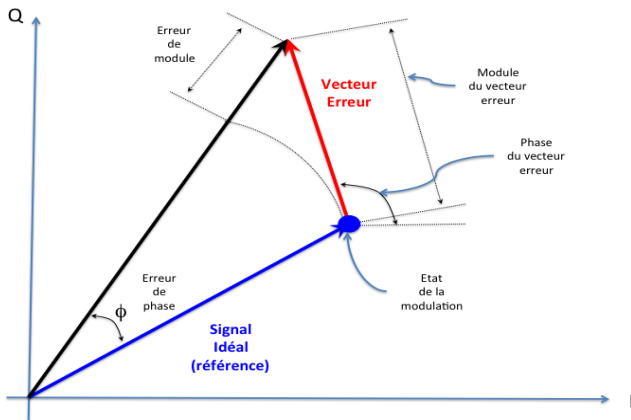
Plusieurs « marqueurs » peuvent être utilisés pour mesurer la qualité de la modulation :

- l'erreur vectorielle (*Error Vector Magnitude*) ;
- erreur de fréquence et de phase ;
- $\rho$  du CDMA et puissance du code.

Déf : l'**erreur vectorielle**, est le vecteur différence entre la valeur du signal complexe à un instant d'échantillonnage, et la valeur théorique que le signal complexe devrait avoir à cet instant.

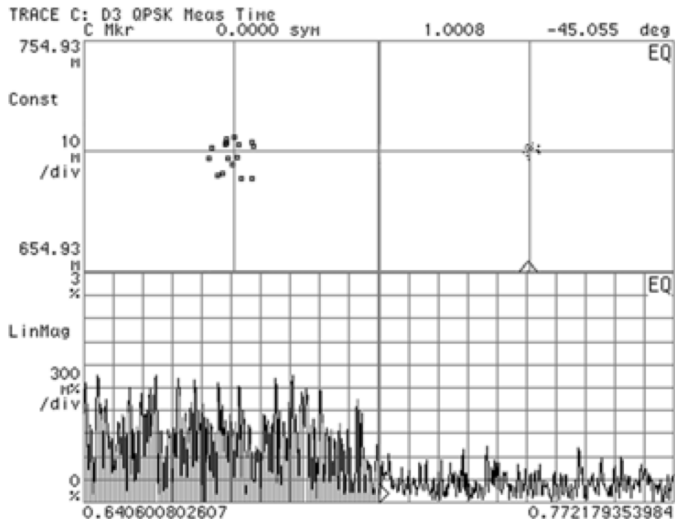
Il s'agit d'une quantité **complexe** (vectorielle) !

## EVM



l'**EVM**, est la valeur quadratique moyenne dans le temps de l'erreur vectorielle, au instants de transition des symboles.

# EVM et l'égalisation



## Le offset de DC

La présence d'un offset de continu sur les composantes  $I(t)$  et  $Q(t)$  → mod de phase du signal modulé.

$$s(t) = A.I(t) \cos(2\pi f_c t) - A.Q(t) \sin(2\pi f_c t),$$

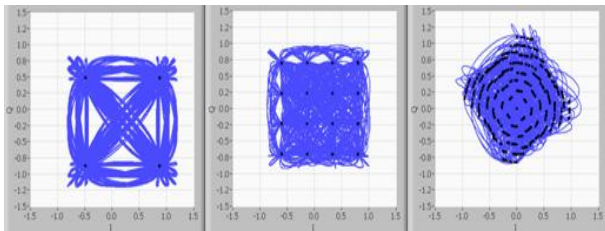
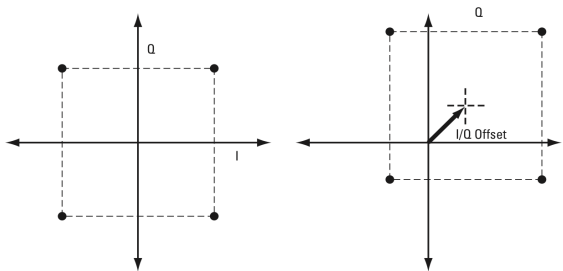
$$s_{DC}(t) = A.(I(t) + V_I) \cos(2\pi f_c t) - A.(Q(t) + V_Q) \sin(2\pi f_c t),$$

$$s_{DC}(t) = s(t) + A.V_I \cos(2\pi f_c t) - A.V_Q \sin(2\pi f_c t).$$

Un « reste » de porteuse traîne sur le signal modulé !

**Attention !** : ceci peut avoir des conséquences néfastes sur la performance de la modulation.

## Le offset de DC (2)



## Le déséquilibre entre I et Q

Très rarement on vérifie l'orthogonalité des composantes  $I(t)$  et  $Q(t)$ .

$$s(t) = A.I(t) \cos(2\pi f_c t) - A.Q(t) \sin(2\pi f_c t),$$

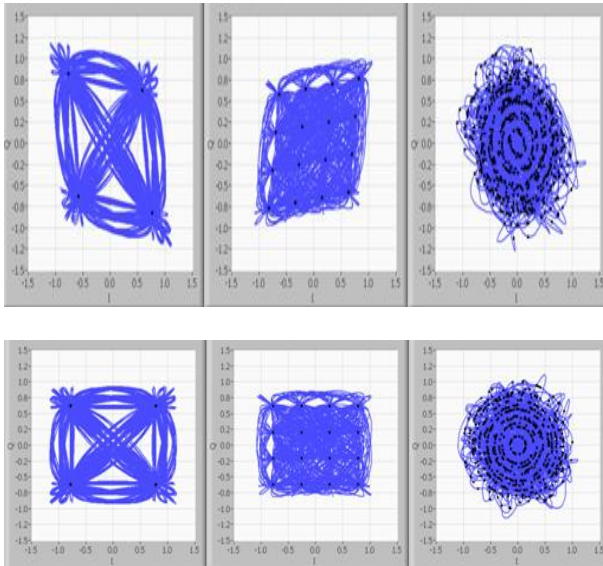
$$s_{Imb}(t) = A.I(t) \cos(2\pi f_c t) - A.Q(t)(1 + \alpha) \sin(2\pi f_c t + \phi),$$

$$s_{Imb}(t) = A.(I(t) - (1 + \alpha) \sin \phi . Q(t)) \cos(2\pi f_c t) -$$

$$-A.(1 + \alpha \cos \phi) . Q(t) . \sin(2\pi f_c t + \phi).$$

**I et Q se gênent mutuellement !**

## Le déséquilibre entre I et Q (2)



## Le bruit de phase

L'oscillateur local introduit une gigue dans sa fréquence de résonance.

$$s(t) = A.I(t) \cos(2\pi f_c t) - A.Q(t) \sin(2\pi f_c t),$$

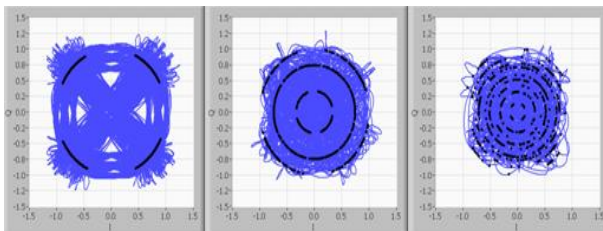
$$s_{PN}(t) = A.I(t) \cos(2\pi f_c t + \phi(t)) - A.Q(t) \sin(2\pi f_c t + \phi(t)),$$

$$s_{PN}(t) = A.(I(t) \cos \phi(t) - Q(t) \sin \phi(t)). \cos(2\pi f_c t) - \\ - A.(I(t) \sin \phi(t) + Q(t) \cos \phi(t)). \sin(2\pi f_c t).$$

**I et Q s'entre-modulent à la cadence de  $\phi(t)$  !**



# Le bruit de phase (2)



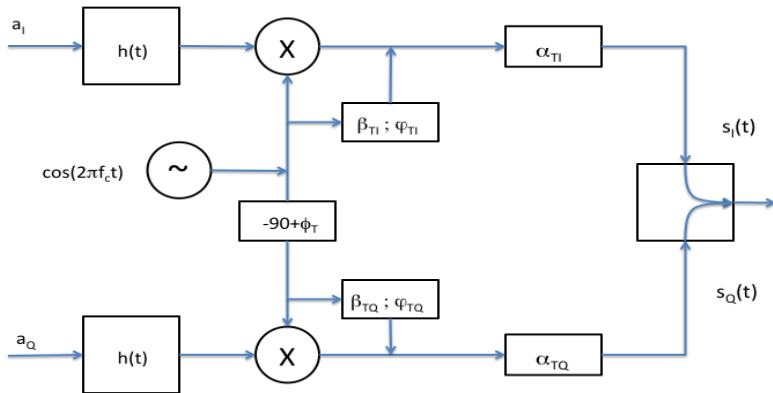
## Exemple : impact des imperfections sur la M-QAM

Quel est l'impact de ces imperfections sur le signal modulé ?.

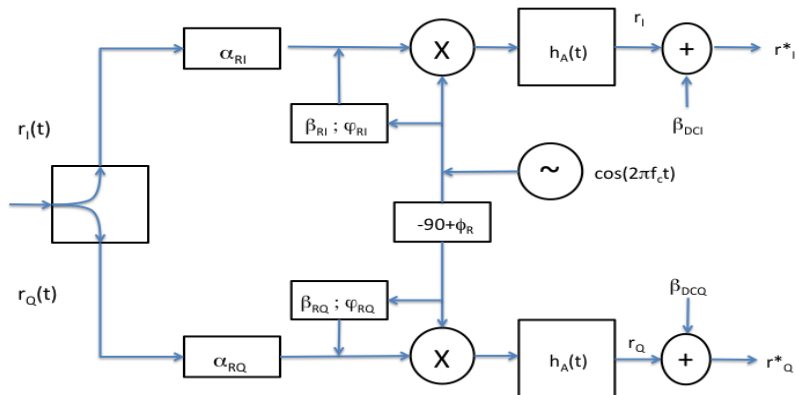
A titre d'exemple, nous allons quantifier les imperfections suivantes :

- erreur de phase entre I et Q ;
- déséquilibre des amplitudes I-Q ;
- fuite de porteuse après mélange ;
- offset DC.

## Exemple : modèle des imperfections - Tx



## Exemple : modèle des imperfections - Rx



## Exemple : Signaux en BB - TX/Rx

$$s_{modI}(t) = \sum a_{Ik}h(t-kT_{symb}) \quad ; \quad s_{modQ}(t) = \sum a_{Qk}h(t-kT_{symb}),$$

$$\tilde{s}(t) = s_I(t) + js_Q(t),$$

où :

$$s_I(t) = \alpha_{TI} \cdot s_{modI}(t) - \alpha_{TQ} \cdot \sin \phi_T \cdot s_{modQ}(t) + \\ \alpha_{TI} \beta_{TI} \cdot \cos \varphi_{TI} - \alpha_{TQ} \beta_{TQ} \cdot \cos \varphi_{TQ}$$

et

$$s_Q(t) = \alpha_{TQ} \cos \phi_T \cdot s_{modQ}(t) + \alpha_{TI} \beta_{TI} \cdot \sin \varphi_{TI} + \alpha_{TQ} \beta_{TQ} \cdot \sin \varphi_{TQ}$$

## Exemple : Signaux en BB - TX/Rx 2

$$\tilde{r}(t) = r_I(t) + jr_Q(t) = s_I(t) + n_I(t) + j(s_Q(t) + n_Q(t)),$$

$$r_I^*(t) = \alpha_{RI} \cdot s_I(t) + \alpha_{RI} \beta_{RI} \cdot \cos \varphi_{RI} + \beta_{DCI}$$

et

$$r_Q^*(t) = \alpha_{RQ} \cdot \{s_Q(t) \cos \phi_R - s_I(t) \sin \phi_R\} + \alpha_{RQ} \beta_{RQ} \cdot \sin(\varphi_{RQ} - \phi_R) + \beta_{DCQ}$$

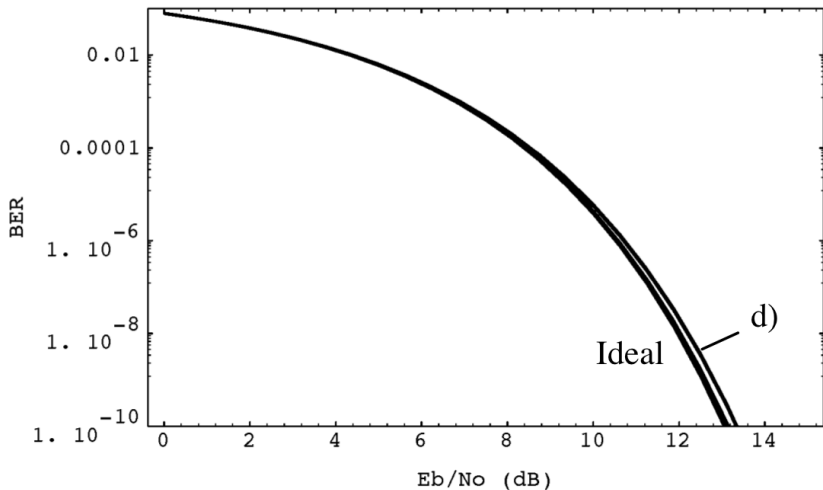
## Exemple : Paramètres de simulation 2

$$DC_{offset} = 0$$

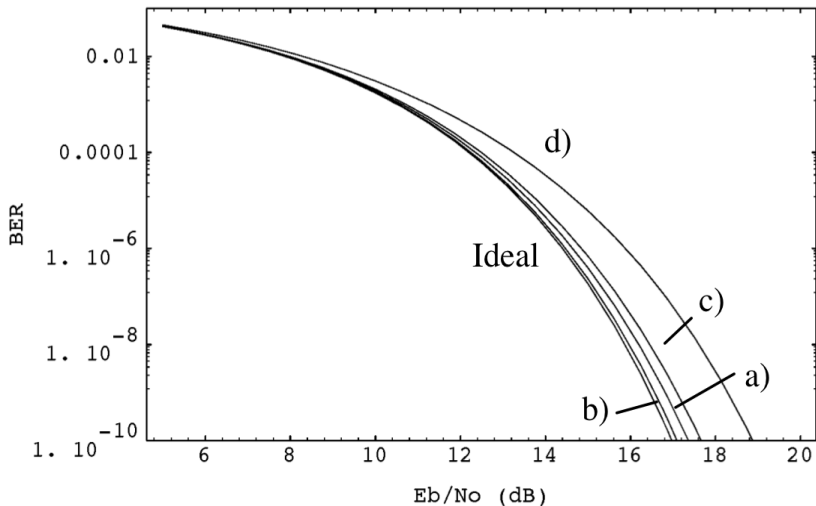
ErrQuad Tx/Rx(deg)	DésAmp(dB)	CL-Supp(dBc)	Fig
0.5/0.5	0.1(2%)	30	a)
0.5/0.5	0.1	$\infty$	b)
1.0/1.0	0.3(7%)	$\infty$	c)
3.0/2.0	0.5(12%)	$\infty$	d)

*Mêmes valeurs d'erreurs en Up et Down-conversion*

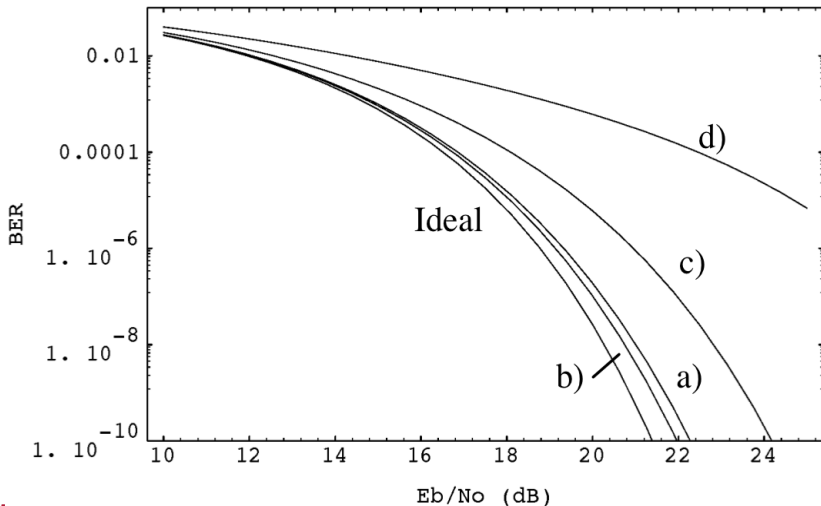
## Exemple : BER-QPSK



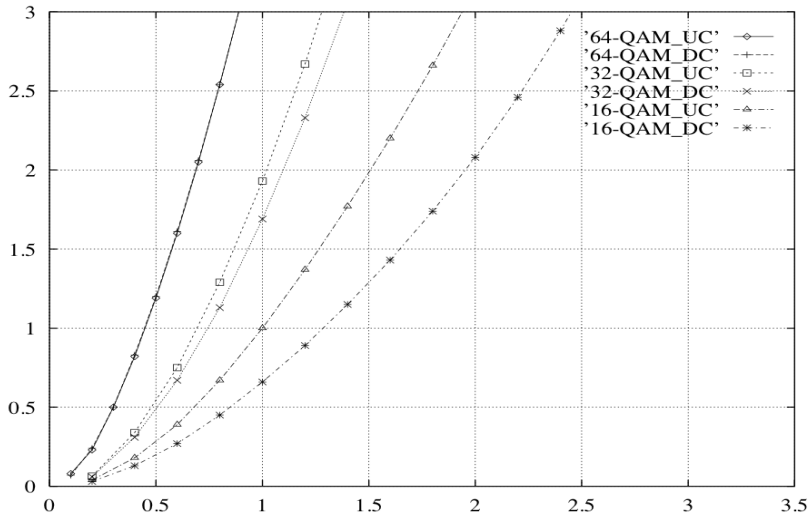
## Exemple : BER-16QAM



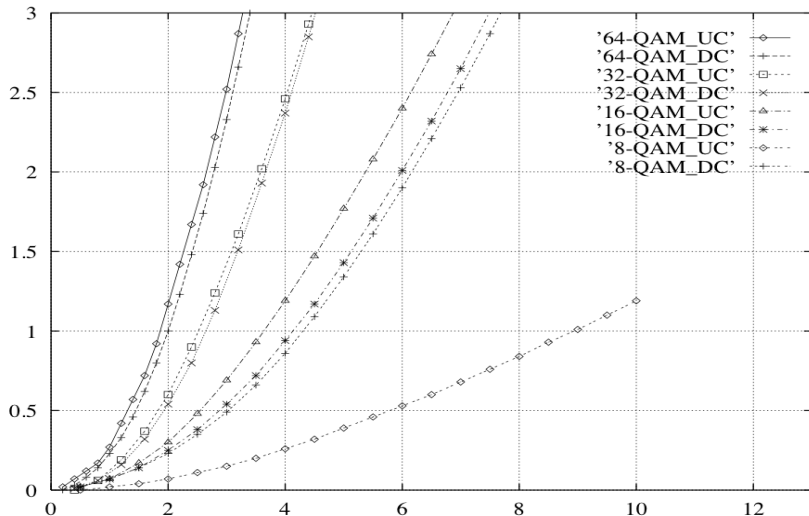
## Exemple : BER-64QAM



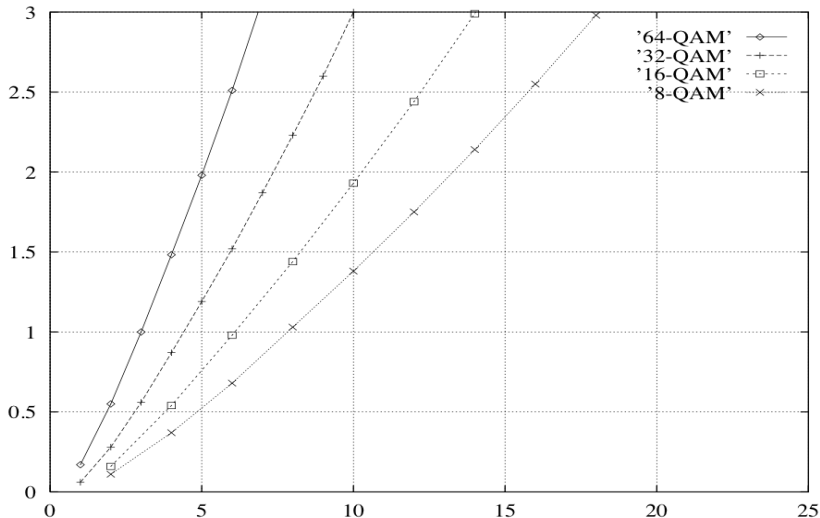
# Pertes d'implantation - Déséquilibre d'amplitudes (en dB@10<sup>-6</sup>)



# Pertes d'implantation - Erreur I-Q (en $\text{deg}@10^{-6}$ )



# Pertes d'implantation - DC offset (en %@ $10^{-6}$ )



○○○○○  
○○○○

○○○○○○○  
○○○○○○○  
○○○○○

○○○○○○○○○○○○○○○  
○○○○○○○○○○○○○○○  
○○○○○○○○○○○○○○●○

FIN